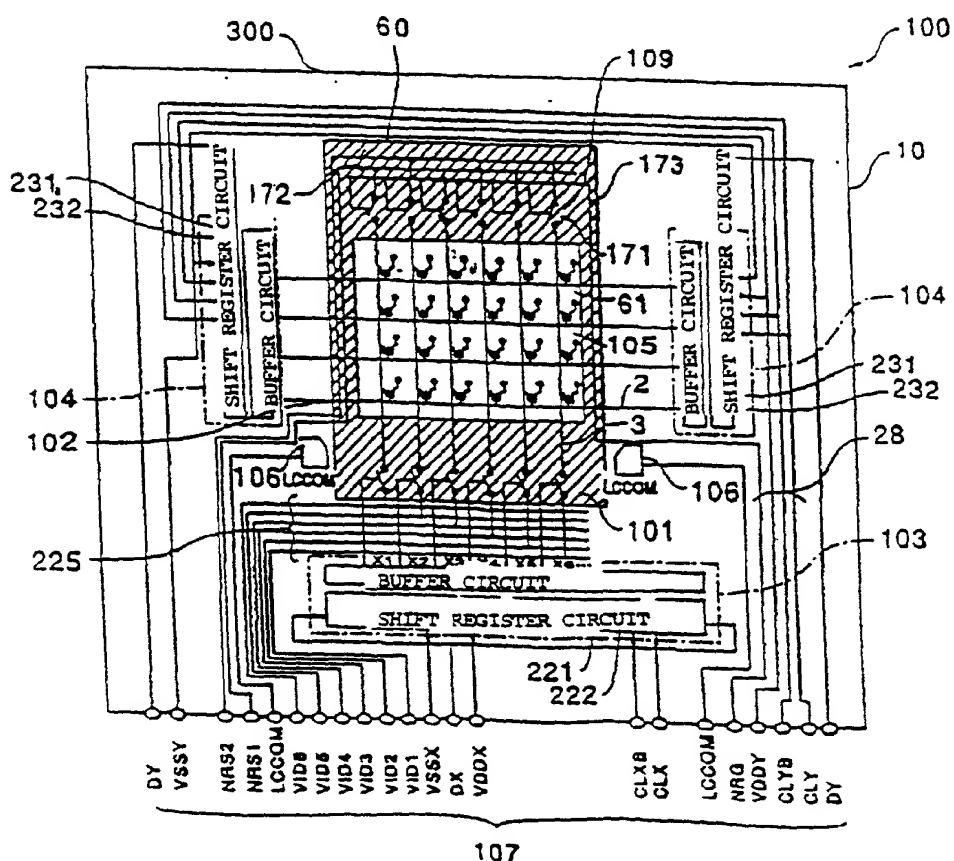
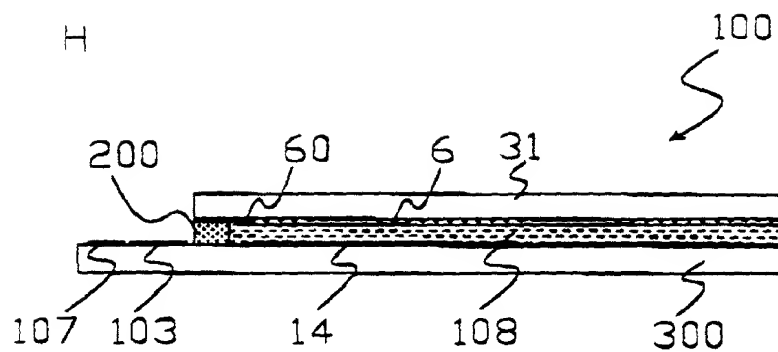


Fig. 1



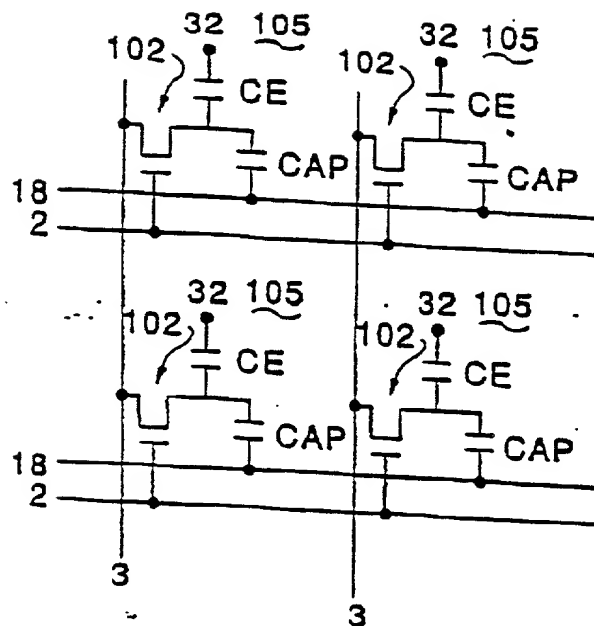


Fig. 4 (A)

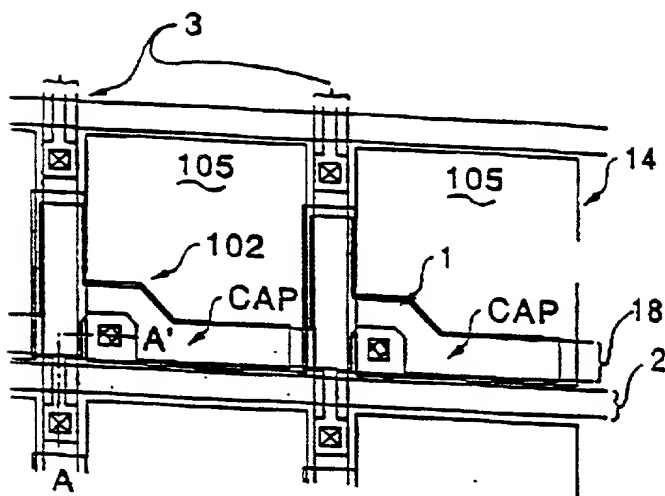


Fig. 4 (B)

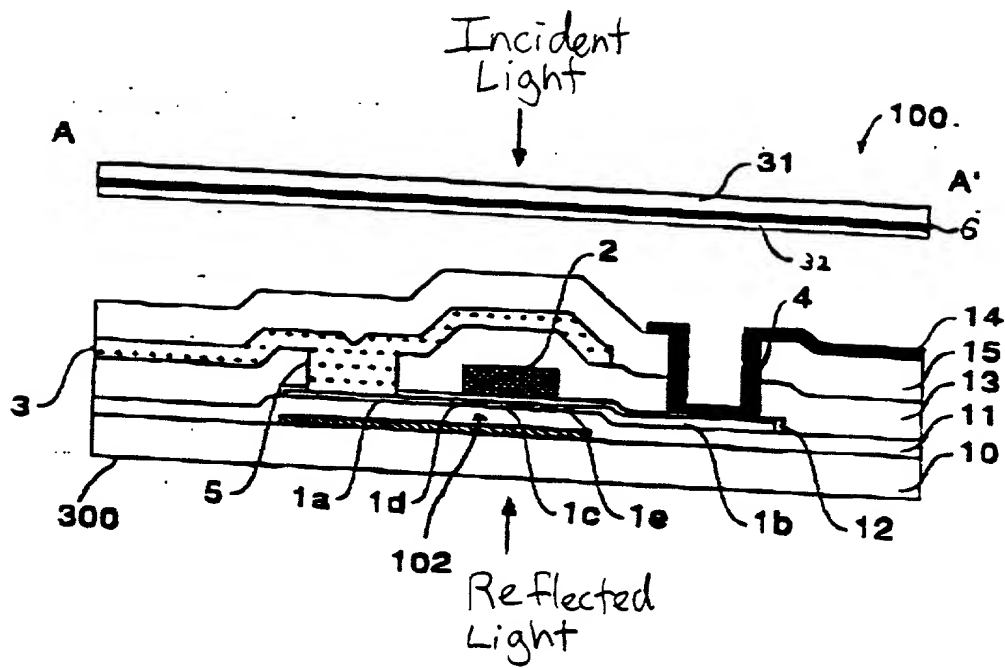


Fig. 5

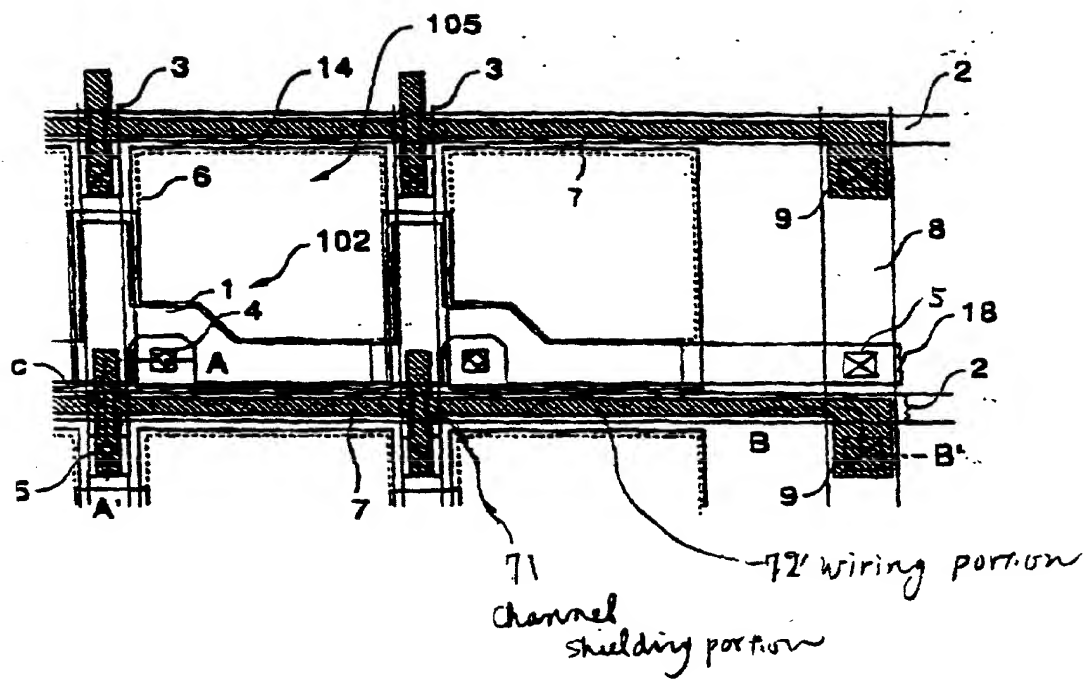


Fig. 6

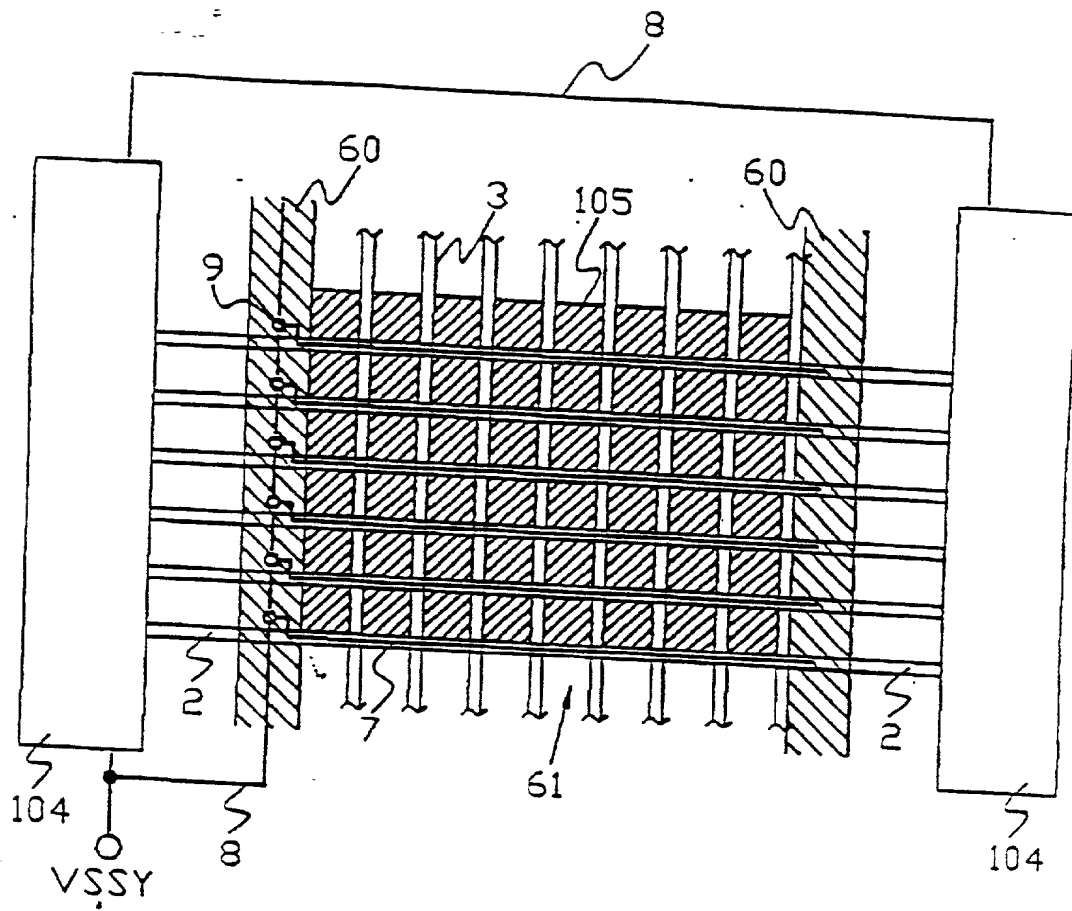


Fig. 7

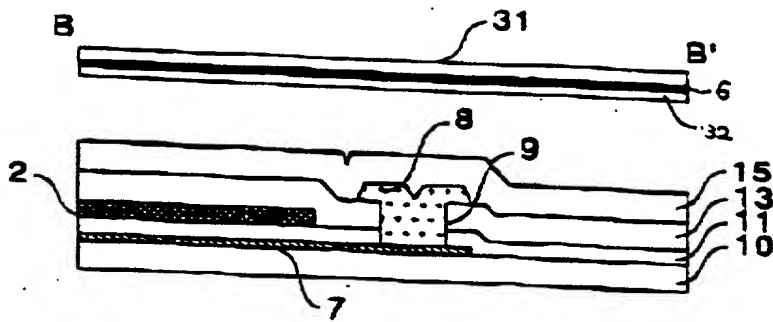


Fig. 8(A)

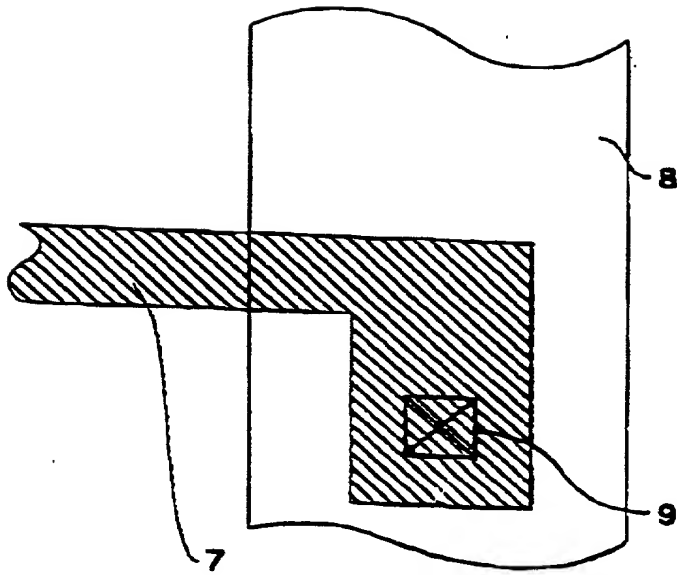


Fig. 8(B)

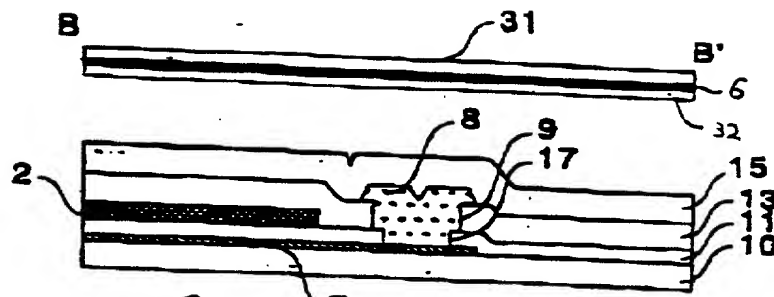


Fig. 9(A)

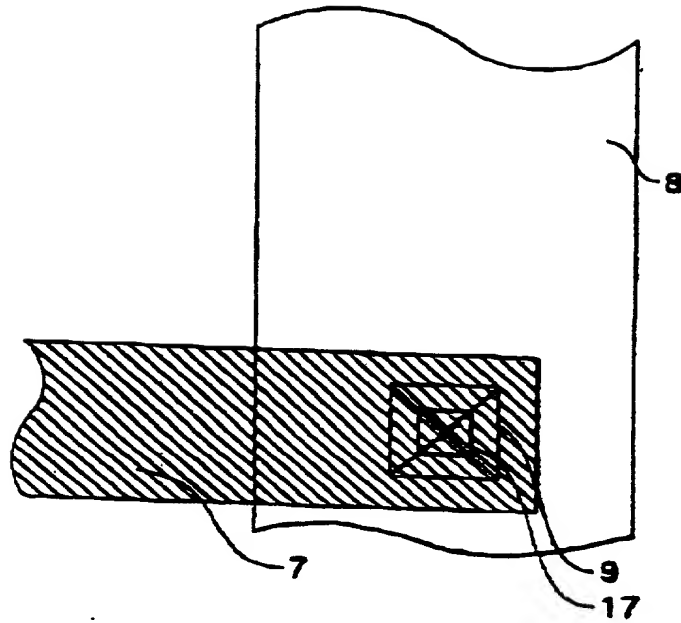


Fig. 9 (B)

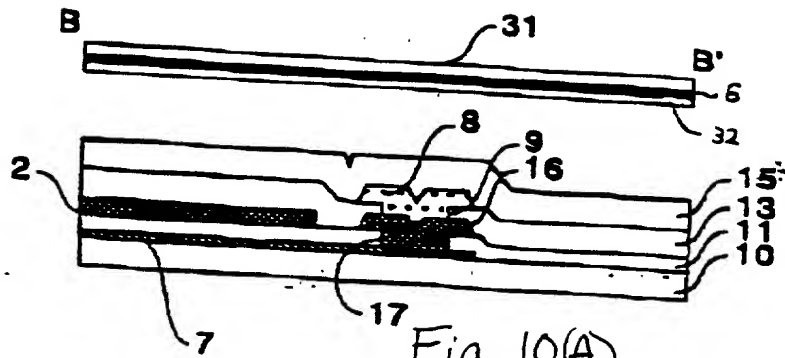


Fig. 10(A)

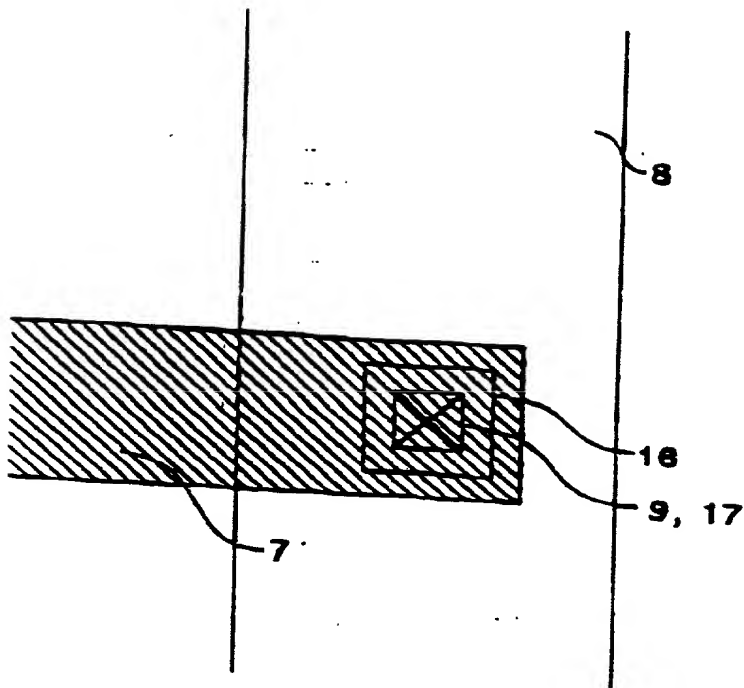


Fig. 10(B)

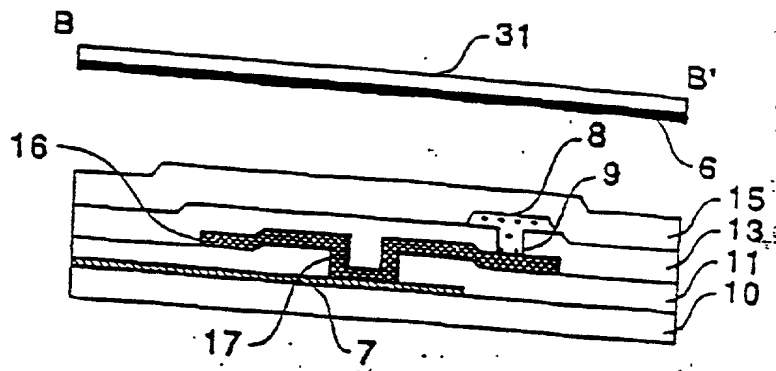


Fig. 11(A)

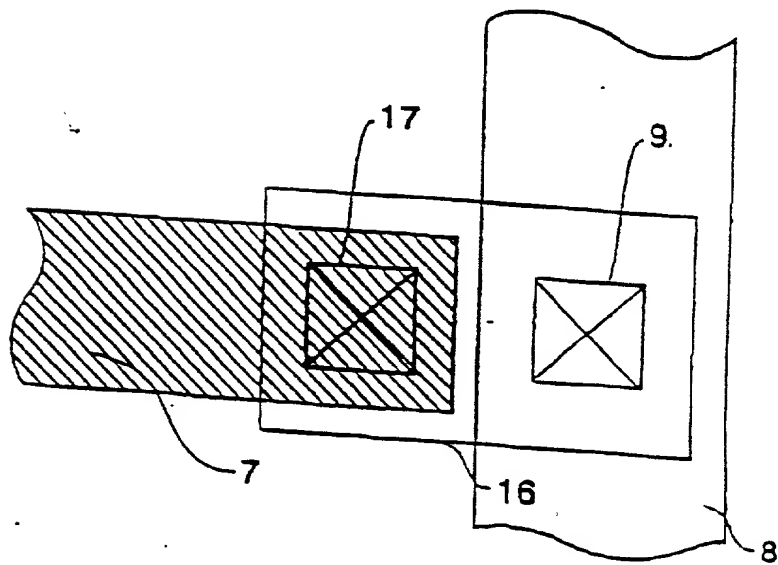


Fig 11(B)

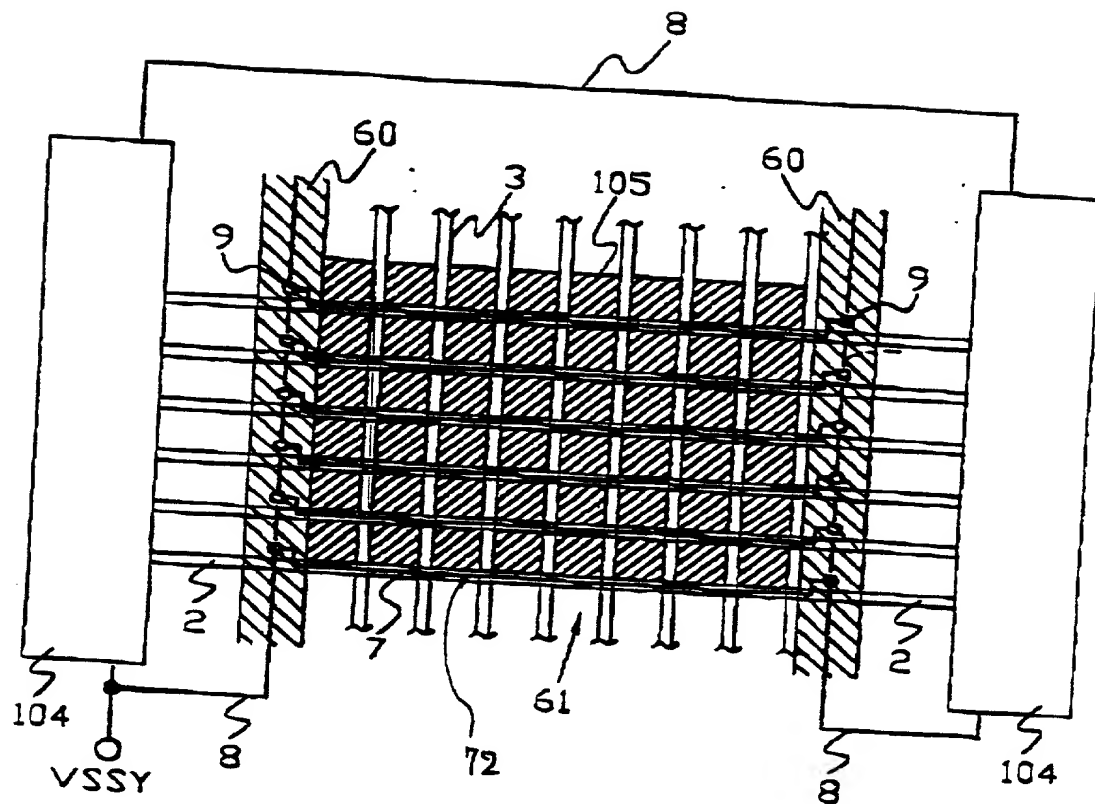


Fig. 12

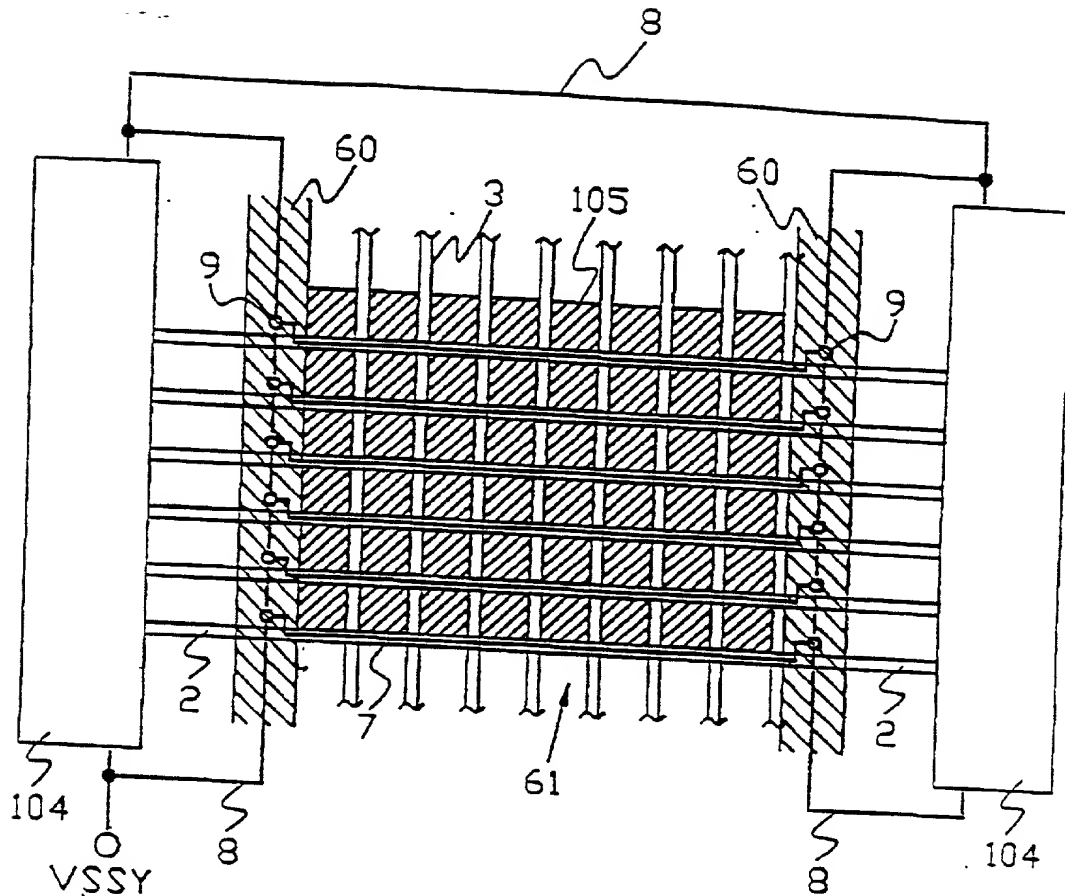


Fig. 13

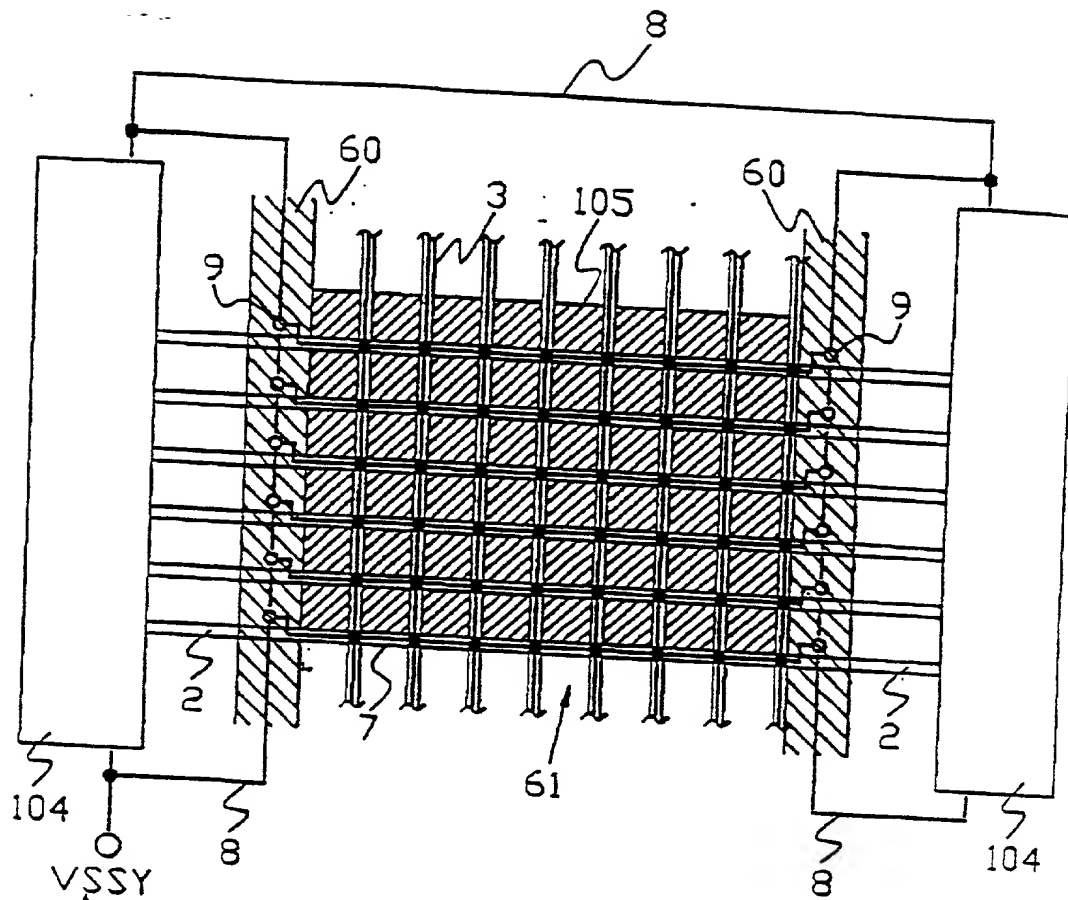


Fig. 14

51
51

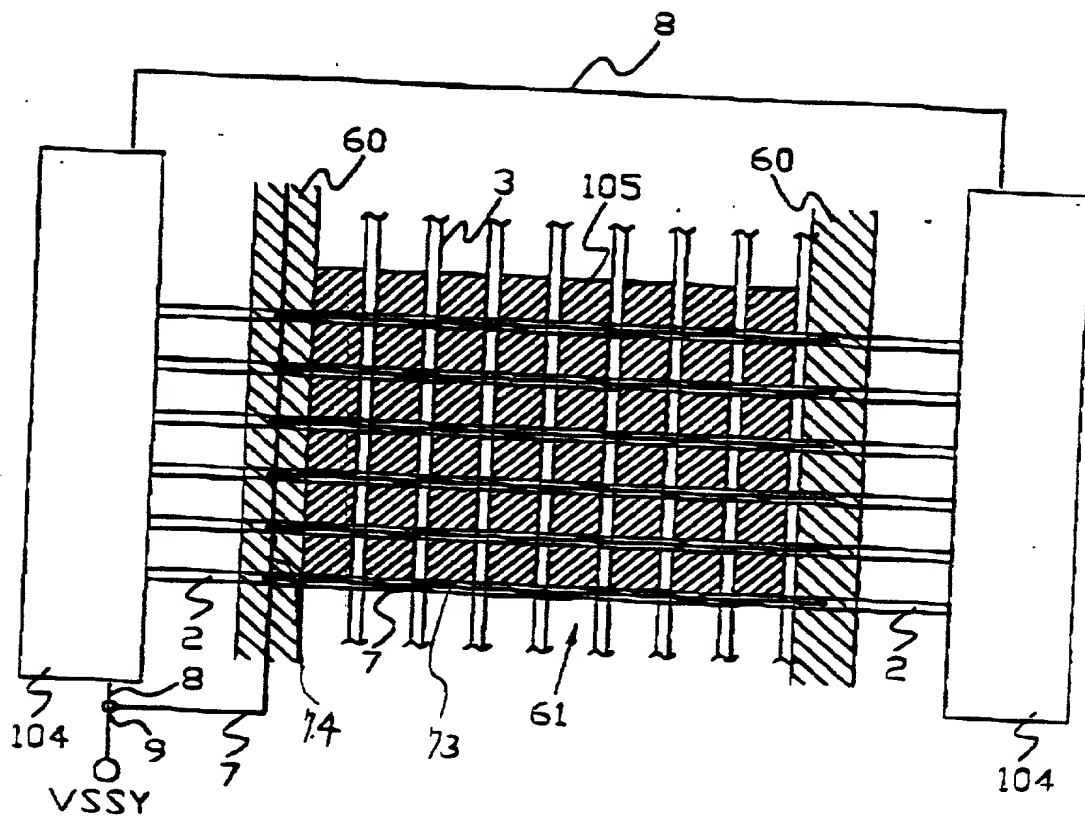


Fig. 16

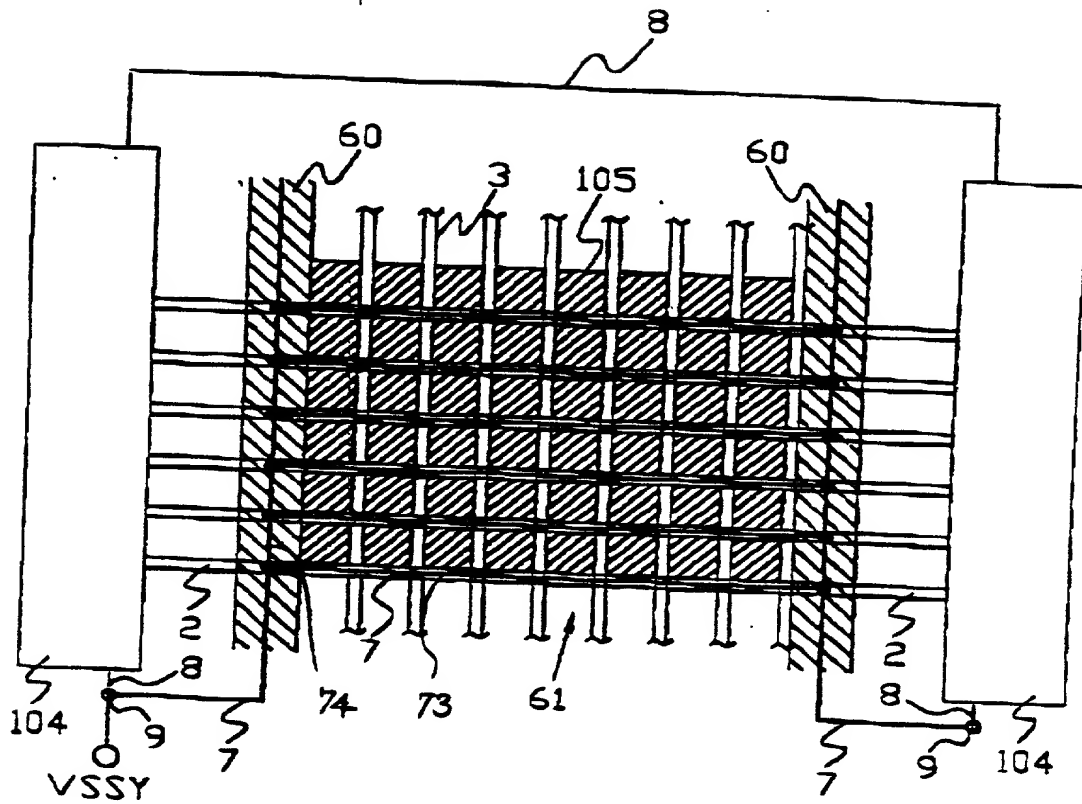


Fig. 17

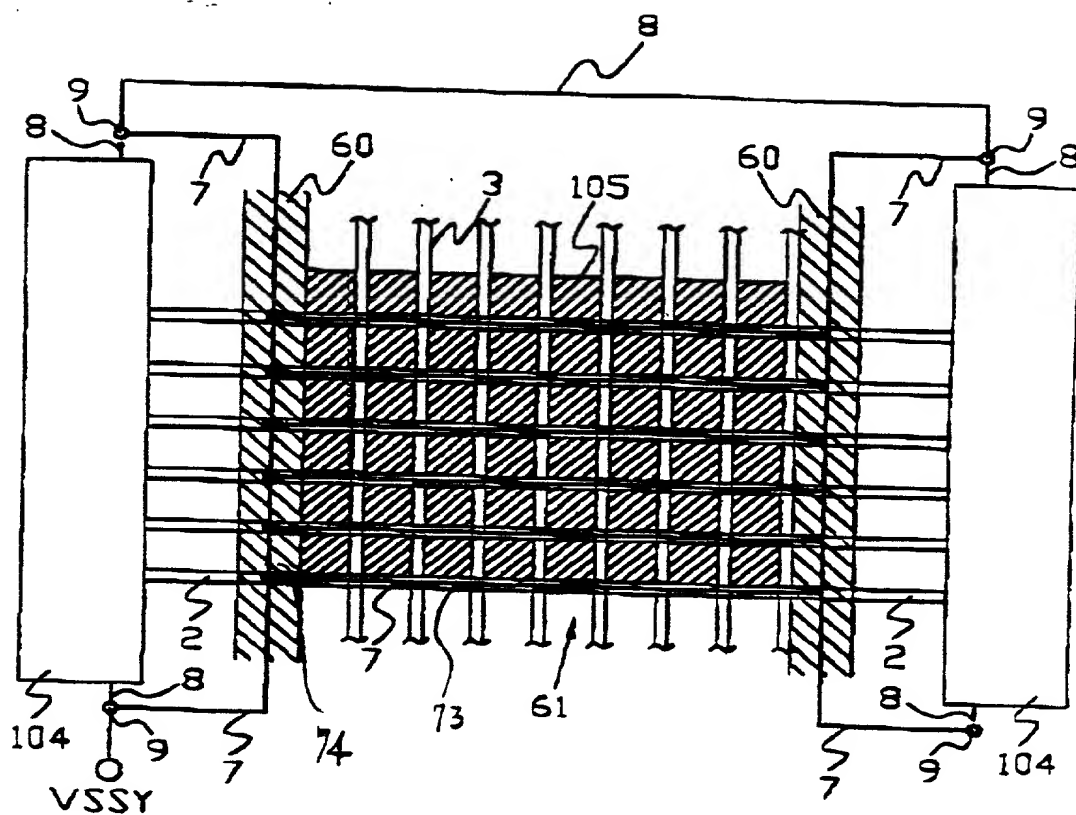


Fig. 18

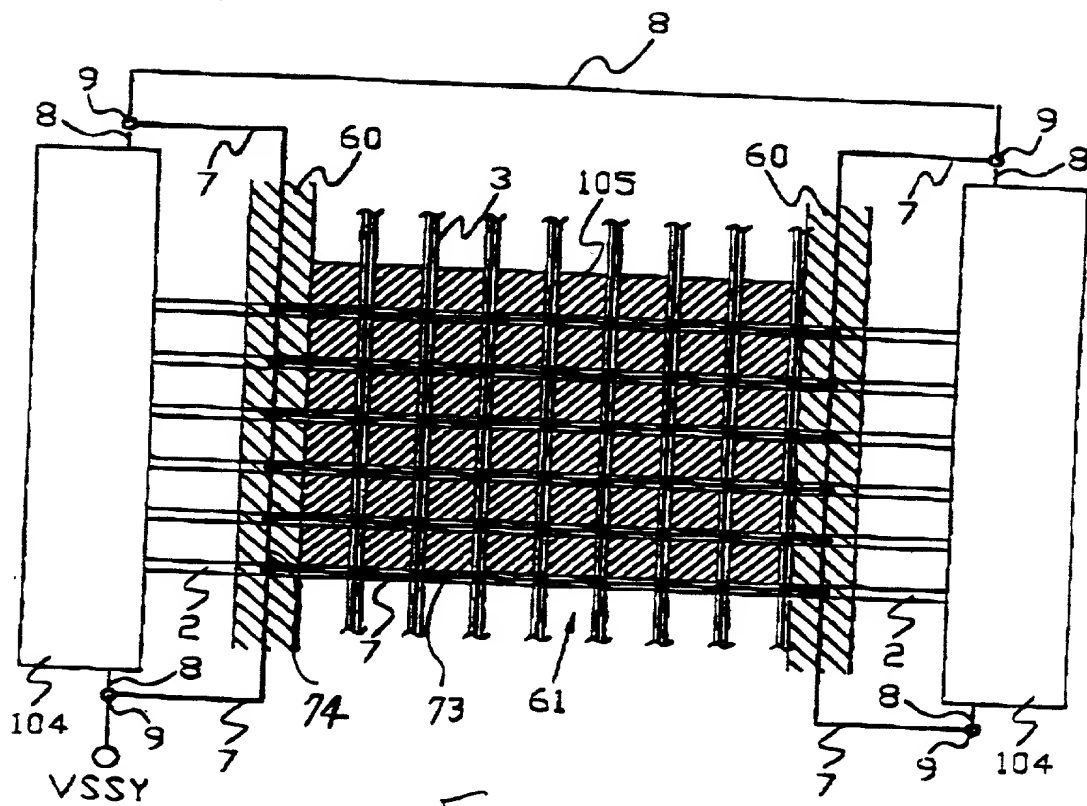


Fig. 19

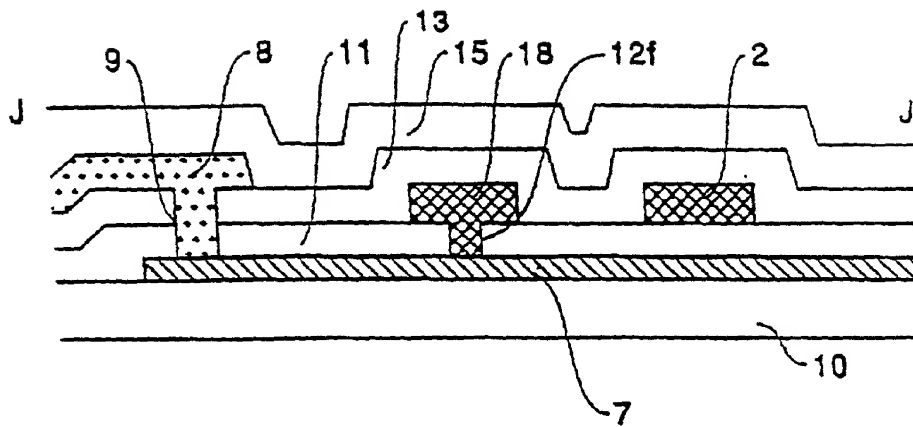
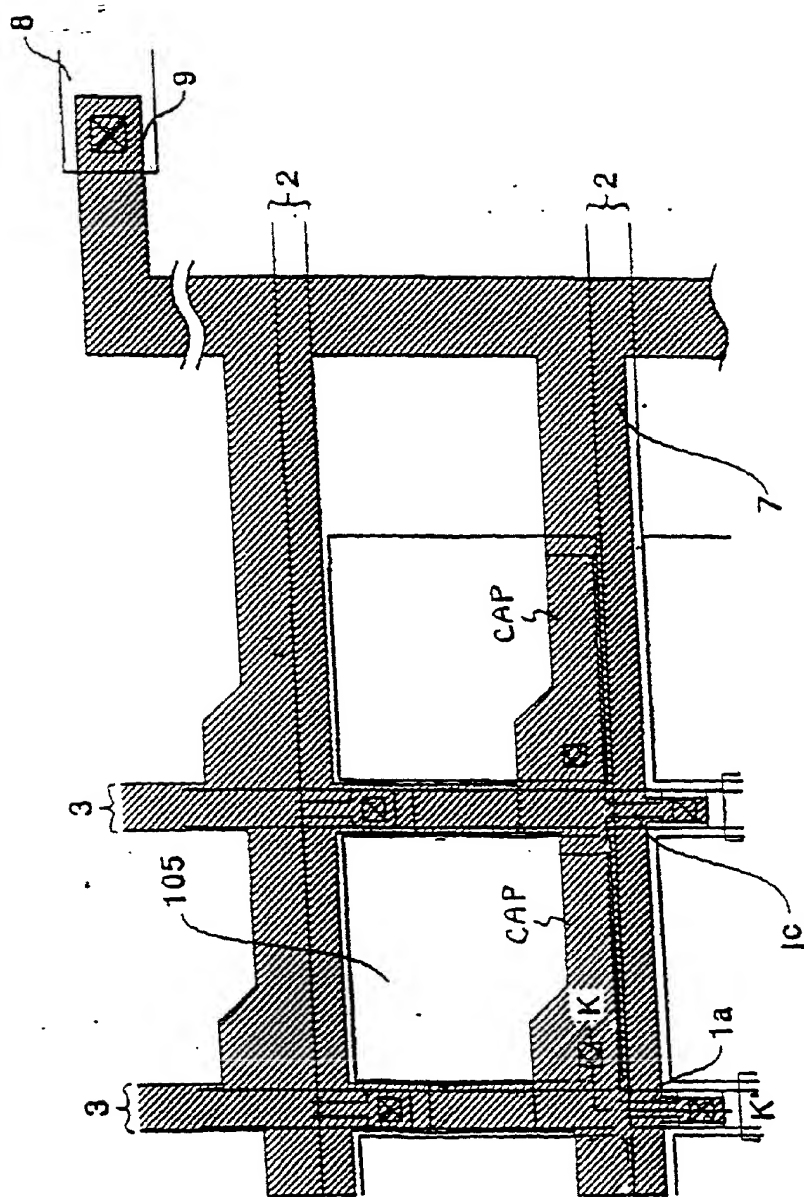


Fig. 21



22

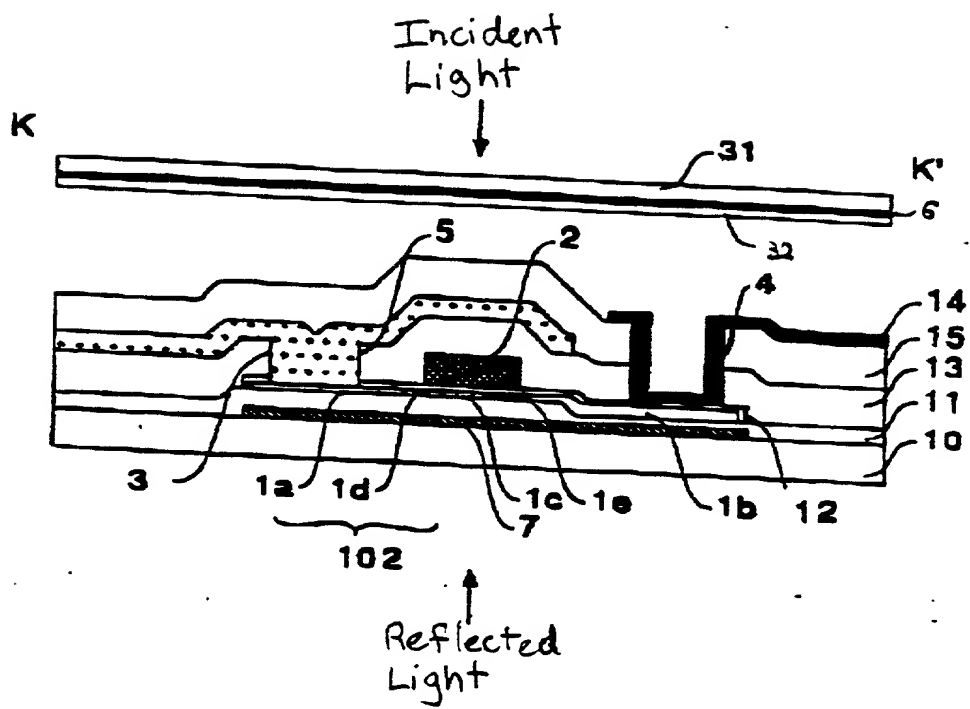


Fig. 23

Fig. 24 (A)

(PIXEL TFT)



Fig. 24(B)



Fig. 24 (c)



Fig. 24 (D)



Fig. 24 (E)

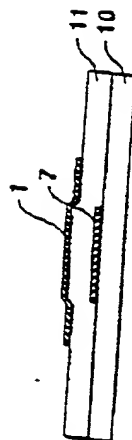
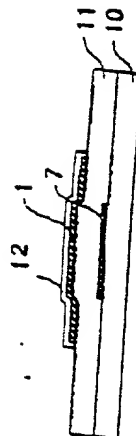


Fig. 24(F)



(CONNECTION WITH CONSTANT
POTENTIAL WIRING)

85



Fig. 25 (A)

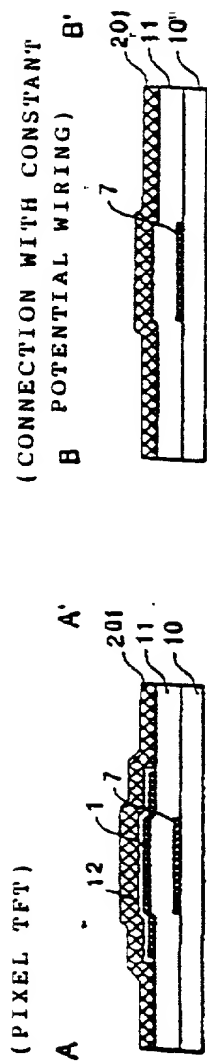


Fig. 25 (B)

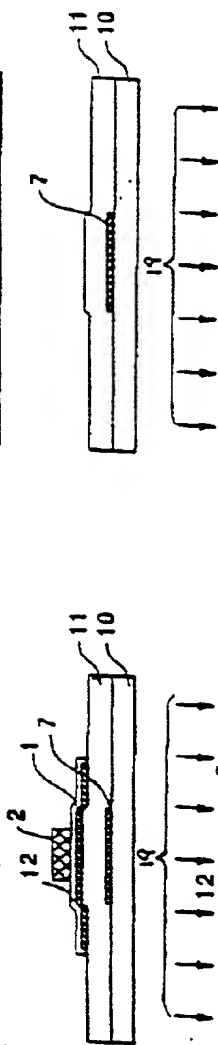


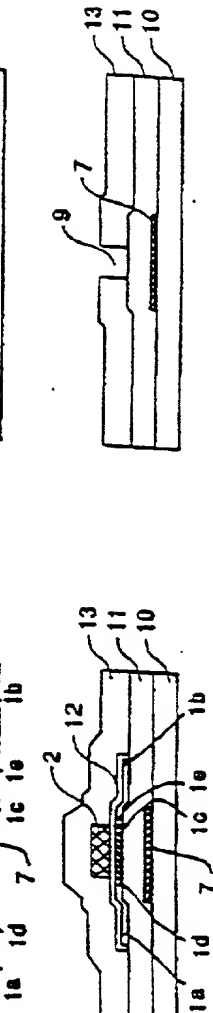
Fig. 25 (c)

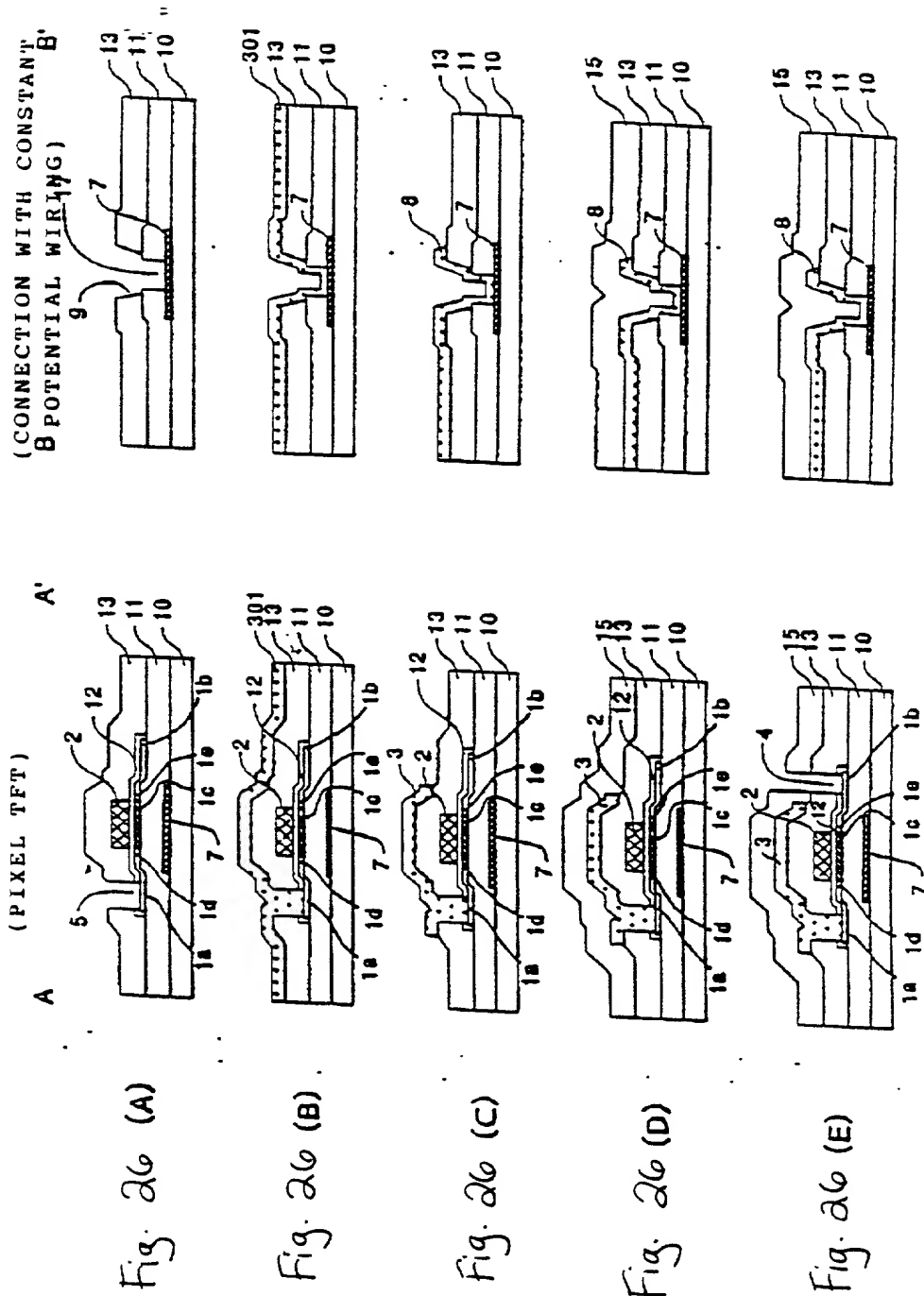


Fig. 25 (D)



Fig. 25 (E)





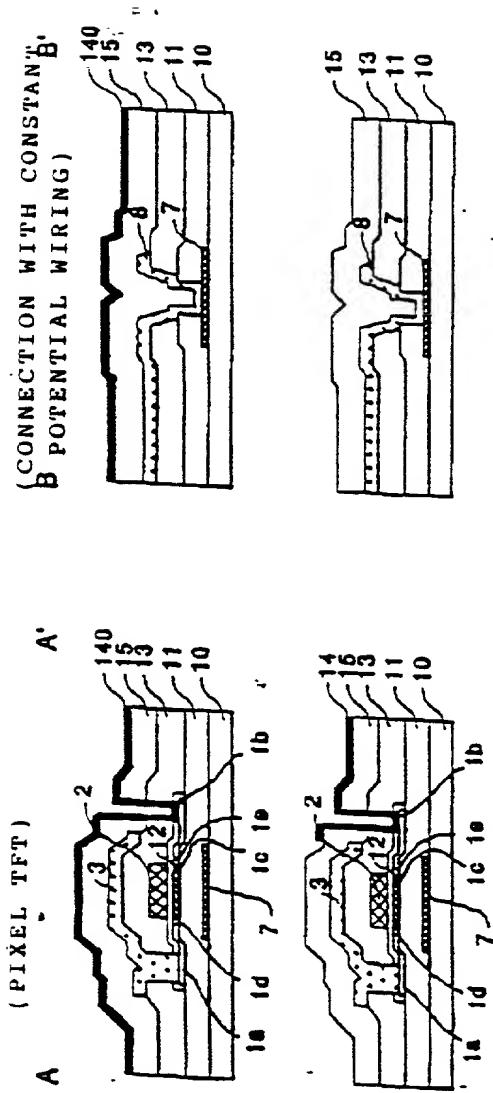
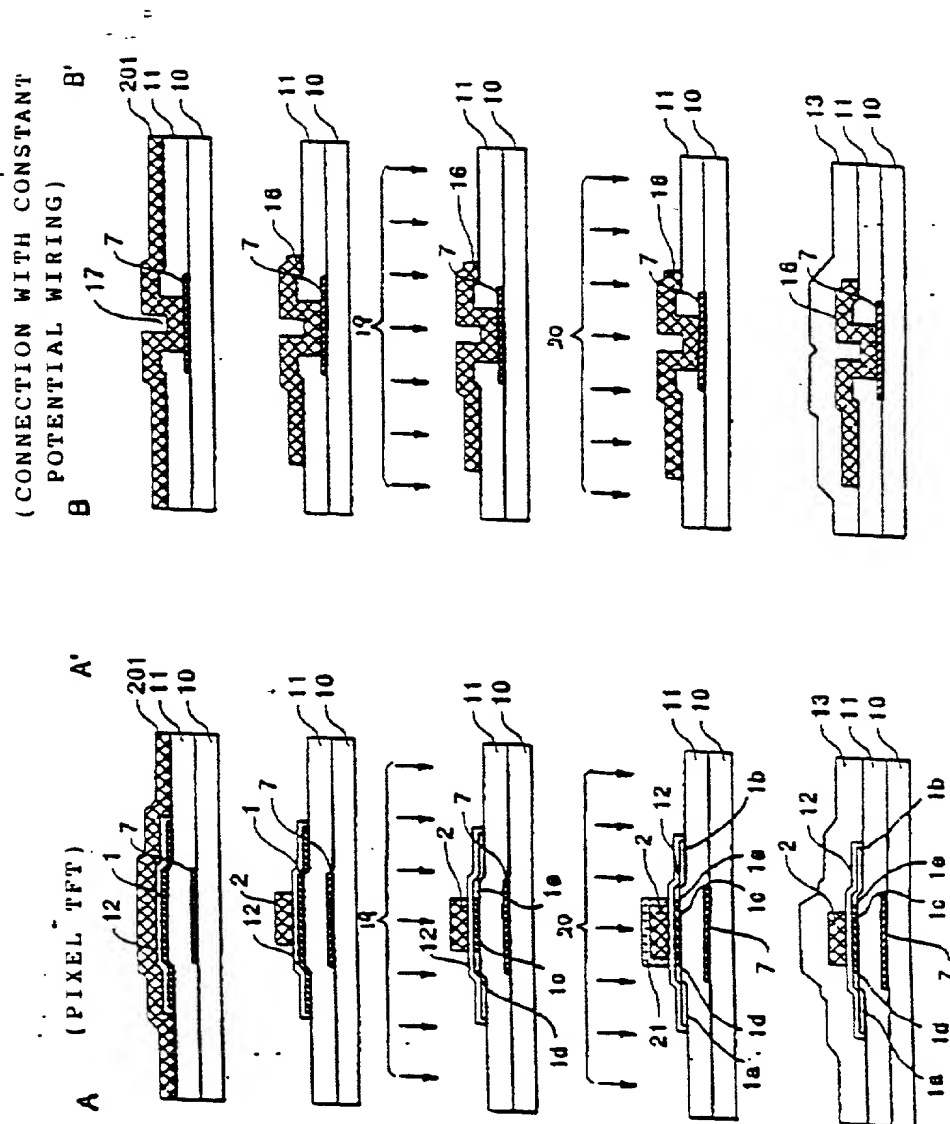


Fig. 27 (A)

Fig. 27 (B)



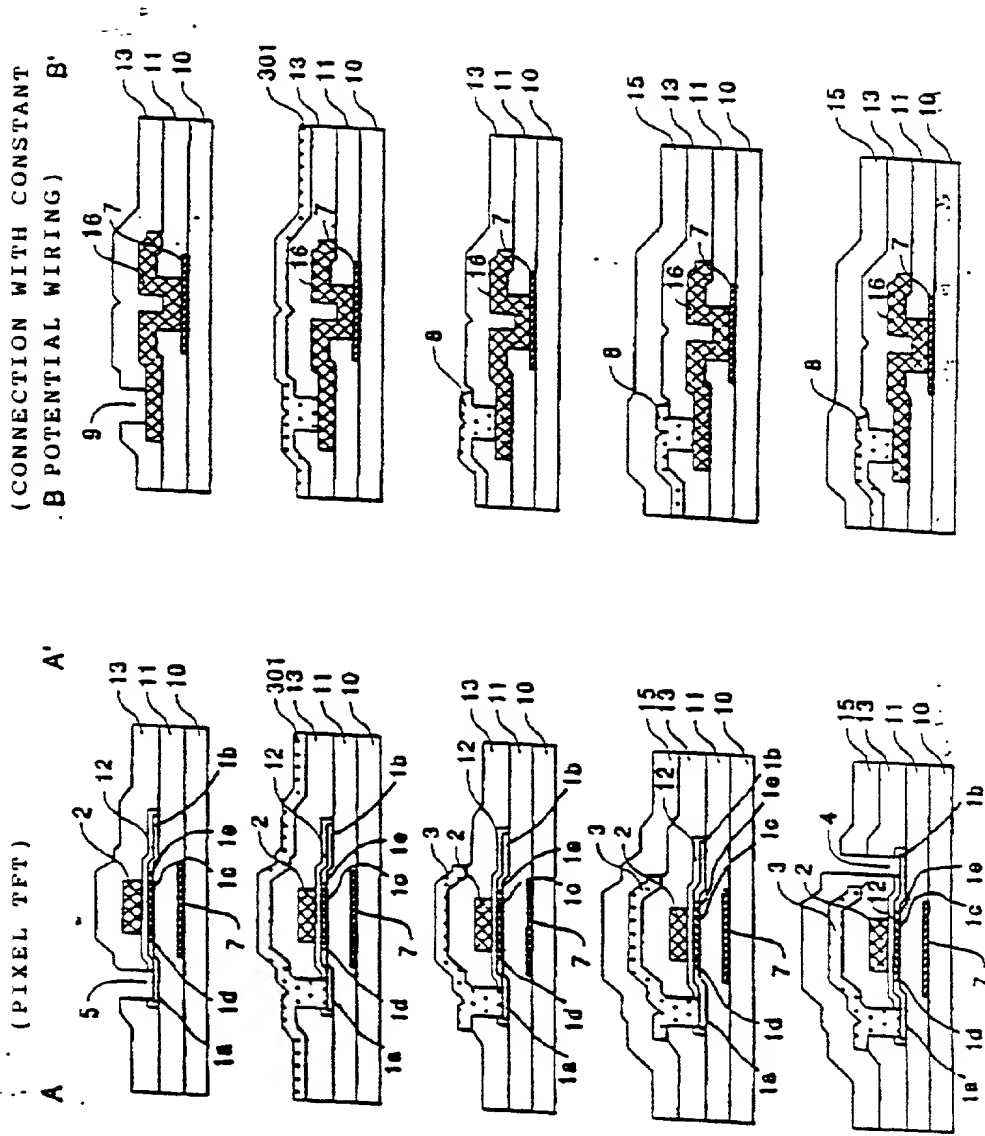


Fig. 29 (A)

Fig. 29 (B)

Fig. 29 (C)

Fig. 29 (D)

Fig. 29 (E)

(PIXEL TFT)

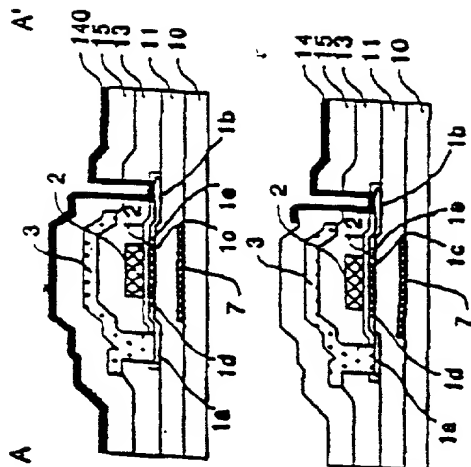
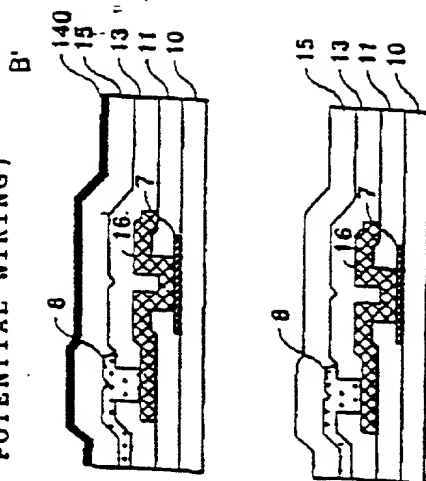


Fig. 30 (A)

Fig. 30 (B)

(CONNECTION WITH CONSTANT
B POTENTIAL WIRING)



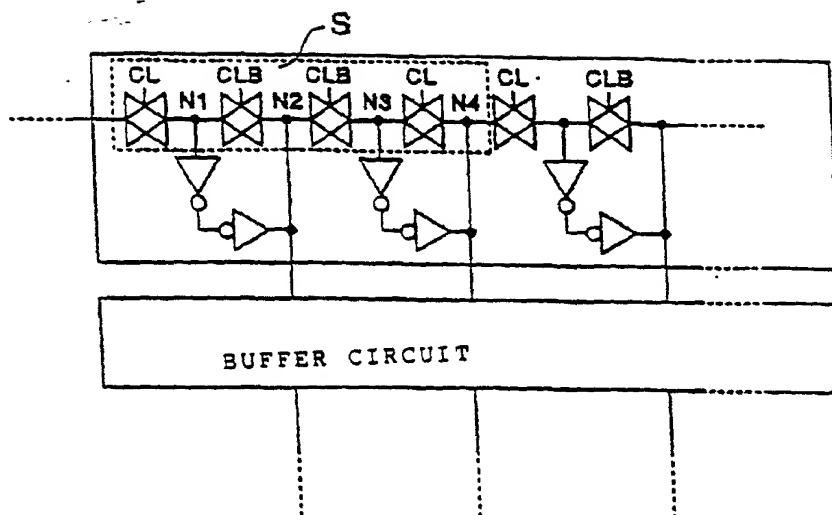


Fig. 31

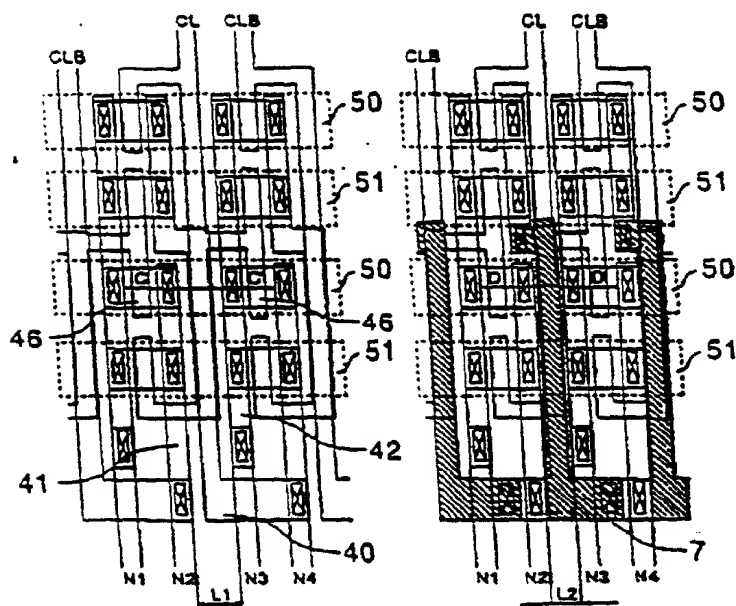


Fig. 32(A)

Fig. 32(B)

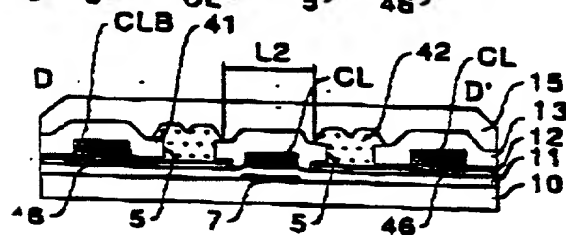
[illegible]

Fig. 34(c)

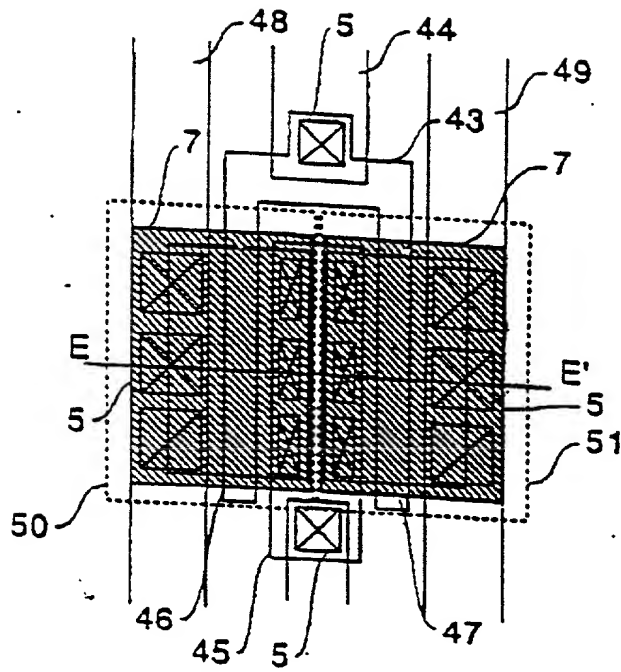


Fig 35(A)

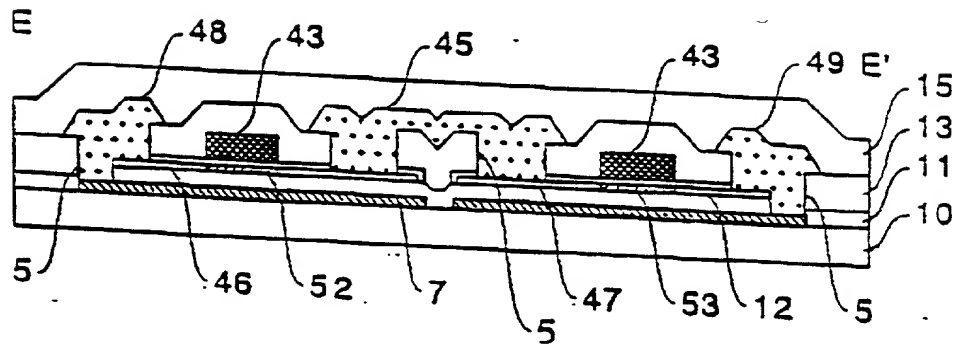


Fig. 35(B)

Fig. 36 (A)

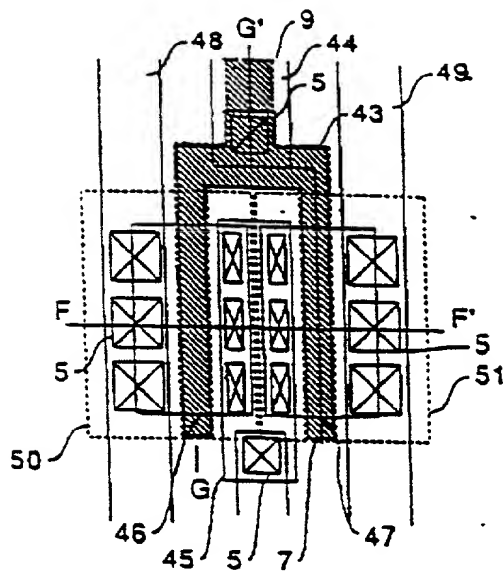


Fig. 36 (B)

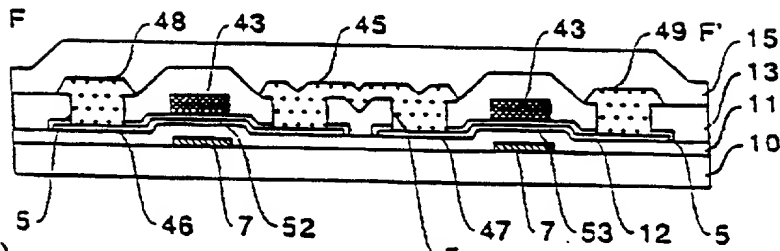
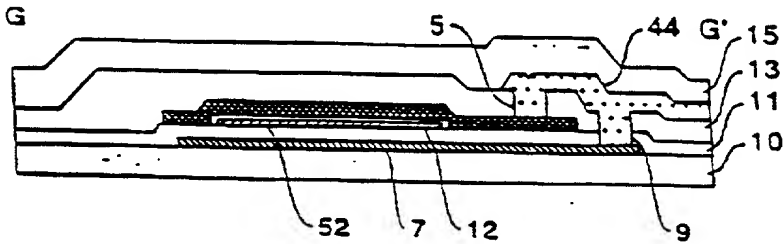


Fig. 36 (C)



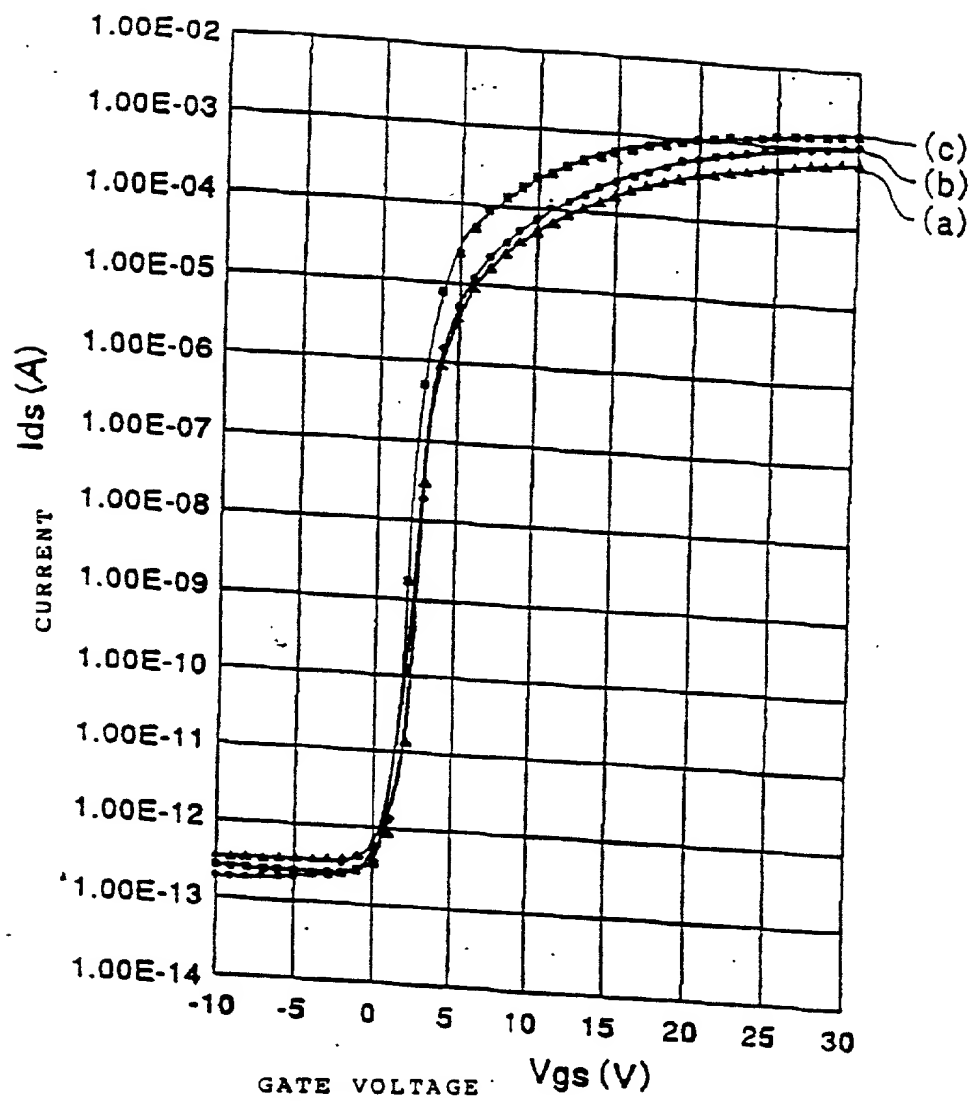


Fig 37

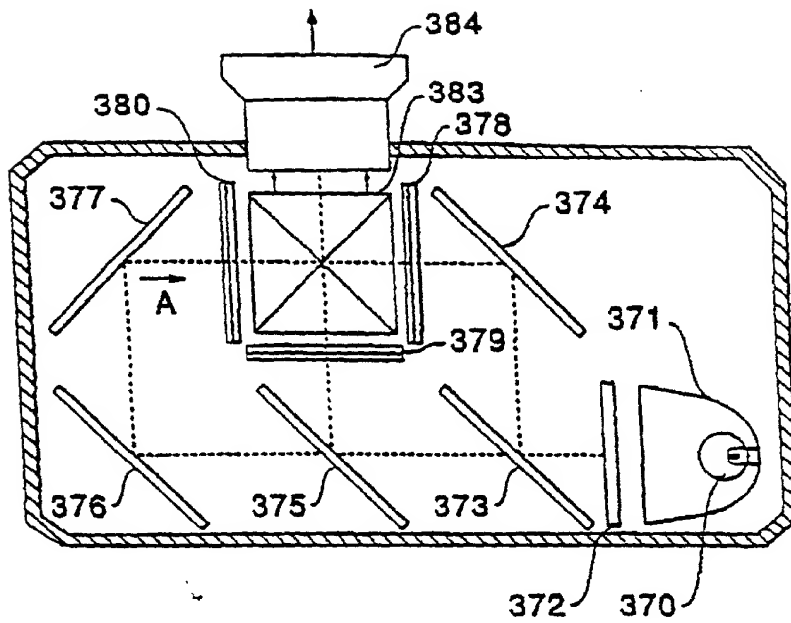


Fig. 38

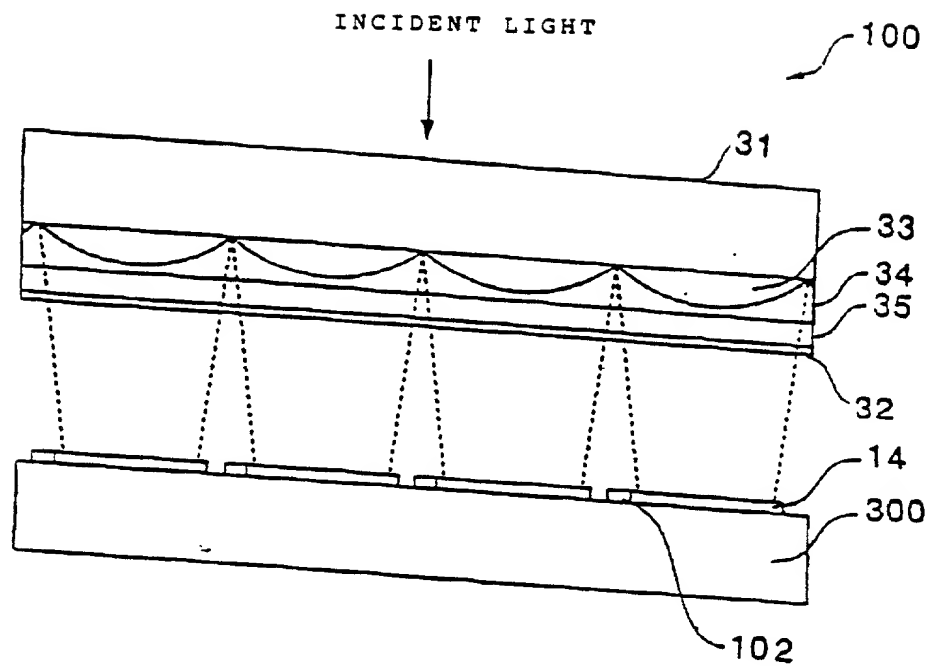


Fig. 39